

# KARAKTERISASI PELET UO<sub>2</sub> MELALUI AUC DAN PELET UO<sub>2</sub> MELALUI ADU SELAMA SINTERING

**Meniek Rachmawati dan Tri Yulianto**

Pusat Teknologi Bahan Bakar Nuklir-BATAN

Kawasan Puspiptek Serpong, Tangerang

## **ABSTRAK**

**KARAKTERISASI PELET UO<sub>2</sub> MELALUI AUC DAN PELET UO<sub>2</sub> MELALUI ADU SELAMA SINTERING.** Penelitian dilakukan dengan mengompakkan serbuk UO<sub>2</sub> melalui AUC dan serbuk UO<sub>2</sub> melalui ADU dengan tekanan pengompakan 4.3 ton/cm<sup>2</sup>. Kinetika sintering pelet mentah hasil pengompakkan, yakni pelet mentah UO<sub>2</sub> melalui AUC (5.80 g/cm<sup>3</sup>) dan pelet mentah UO<sub>2</sub> melalui ADU (5.49 g/cm<sup>3</sup>) dipelajari menggunakan dilatometer. Kurva dilatometer, menunjukkan penyusutan/ *shrinkage rate* terjadi lebih awal pada pelet UO<sub>2</sub> melalui ADU dibandingkan dengan pelet UO<sub>2</sub> melalui AUC. Laju dan besar penyusutan yang terjadi pada pelet UO<sub>2</sub> melalui ADU lebih cepat dan lebih besar dibandingkan pelet UO<sub>2</sub> melalui AUC. Pengamatan mikrostruktur pelet hasil dilatometer menunjukkan bahwa fraksi pori pelet UO<sub>2</sub> melalui AUC lebih banyak dengan ukuran yang lebih besar dibandingkan pelet UO<sub>2</sub> melalui ADU. Pada temperatur tinggi mekanisme sintering dipelajari menggunakan tungku sinter dengan temperatur sintering 1700 °C dengan laju pemanasan 250°C/j dan waktu sintering 4 jam. Hasil sintering menunjukkan bahwa kerapatan pelet sinter UO<sub>2</sub> melalui ADU (10.73 g/cm<sup>3</sup>) lebih tinggi dibandingkan dengan kerapatan pelet sinter UO<sub>2</sub> melalui AUC (10.53 g/cm<sup>3</sup>). Pengamatan mikrostruktur menggunakan mikroskop optik dari pelet hasil sintering menunjukkan bahwa ukuran butir pelet UO<sub>2</sub> melalui ADU lebih besar dibandingkan pelet UO<sub>2</sub> melalui AUC. Hasil penelitian menunjukkan bahwa mampu sinter serbuk UO<sub>2</sub> melalui AUC lebih rendah dibandingkan serbuk UO<sub>2</sub> melalui ADU. Hal ini terlihat pada temperatur puncak U<sub>3</sub>O<sub>7</sub> serbuk UO<sub>2</sub> melalui ADU yang lebih rendah (161°C) dibandingkan temperatur puncak U<sub>3</sub>O<sub>7</sub> serbuk UO<sub>2</sub> melalui AUC (174°C).

**Kata Kunci :** Kompaksi, *sintering*, serbuk UO<sub>2</sub>, ADU, AUC, TG-DTA, ukuran partikel, densitas pelet, densitas sinter, dilatometer.

## **ABSTRACT**

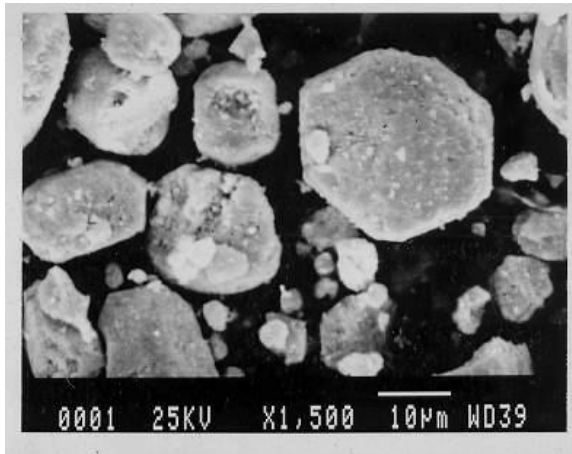
**CHARACTERIZATION OF UO<sub>2</sub> VIA AUC PELLET AND UO<sub>2</sub> MELALUI ADU PELLET DURING SINTERING.** A research has been conducted by compacting of UO<sub>2</sub> powder via AUC and UO<sub>2</sub> powder via ADU under the compaction pressure of 4.3 ton/cm<sup>2</sup>. The kinetical sintering of the green pellet as the result of the compaction, green pellet UO<sub>2</sub> melalui AUC (5.80 g/cm<sup>3</sup>) and green pellet UO<sub>2</sub> via ADU (5.49 g/cm<sup>3</sup>), has been studied using a dilatometer. The dilatometer curve shows that the shrinkage rate of UO<sub>2</sub> pellet via ADU occurs earlier than the shrinkage of UO<sub>2</sub> pellet via AUC. The speed and the size of shrinkage for UO<sub>2</sub> pellet via ADU is faster and greater than UO<sub>2</sub> pellet via AUC has. From microstructure-graph investigation as the result of the dialtometer process shows that the big size of pore fraction of UO<sub>2</sub> pellet via AUC is greater than UO<sub>2</sub> pellet via ADU has. At high temperature, the mechanism of sintering has been studied at 1700 °C with heating rate 250 °C/j and sintering time 4 hours. The results of the sintering shows that the density of UO<sub>2</sub> pellet via ADU

( $10.73 \text{ g/cm}^3$ ) is higher than the density of  $\text{UO}_2$  pellet via AUC ( $10.53 \text{ g/cm}^3$ ). Microstructure-graph using optical microscope of the sintered pellet shows that particle's size of  $\text{UO}_2$  pellet via ADU is bigger than the particle's size of  $\text{UO}_2$  pellet via AUC. The research shows that the sinterability of  $\text{UO}_2$  powder via AUC is lower than the sinterability of  $\text{UO}_2$  powder via ADU. It has been shown by the peak temperature of  $\text{U}_3\text{O}_7$  of  $\text{UO}_2$  powder via ADU which is lower ( $161^\circ\text{C}$ ) than the peak temperature of  $\text{U}_3\text{O}_7$  of  $\text{UO}_2$  powder via AUC ( $174^\circ\text{C}$ ).

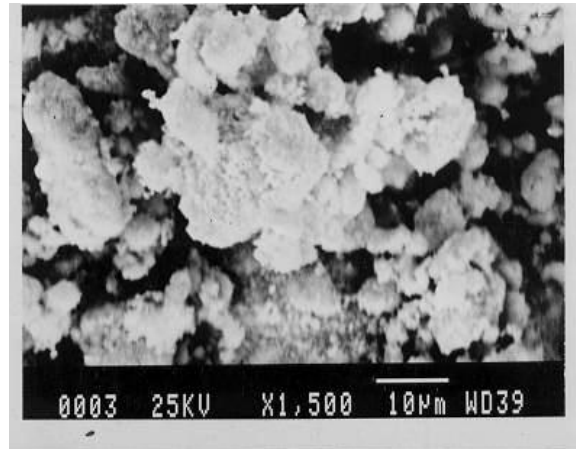
**Keywords :** Compaction, sintering,  $\text{UO}_2$  powder, ADU, AUC, TG-DTA, particle size/ shape, green density, sintered density, dilatometer.

## PENDAHULUAN

UO<sub>2</sub> adalah bahan bakar nuklir yang digunakan secara luas pada pembangkit listrik tenaga nuklir saat ini. Proses fabrikasi pelet UO<sub>2</sub> pada prinsipnya sama dengan proses metalurgi serbuk (P/M). UO<sub>2</sub> secara konvensional difabrikasi dengan proses basah melalui: ADU (Ammonium Di Uranat)<sup>[1]</sup> dan AUC (Ammonium Uranyl Carbonate)<sup>[2]</sup>. Akan tetapi karakteristik serbuk yang dihasilkan melalui ke dua proses tersebut berbeda.<sup>[3,4]</sup>. Perbedaan karakteristik ke dua jenis serbuk tersebut berpengaruh besar pada mampu tekan/compressibility, mampu kompak/compactibility, dan mampu sinter/sinterability<sup>[5-7]</sup>. Karakteristik serbuk, khususnya ukuran dan morfologi serbuk berpengaruh pada perilaku serbuk selama proses pengompakan dan mampu sinter serbuk<sup>[8,9]</sup>. Hasil penelitian menyebutkan bahwa partikel serbuk UO<sub>2</sub> ex-AUC besar dan berbentuk sferis ("spherical") dan terpisah satu dengan lainnya. Sedangkan partikel serbuk UO<sub>2</sub> ex-ADU berbentuk "non-spherical" dan cenderung mengaglomerasi. Fraksi halus serbuk UO<sub>2</sub> ex-ADU lebih banyak dibandingkan dengan serbuk UO<sub>2</sub> ex-AUC<sup>[10-12]</sup>.



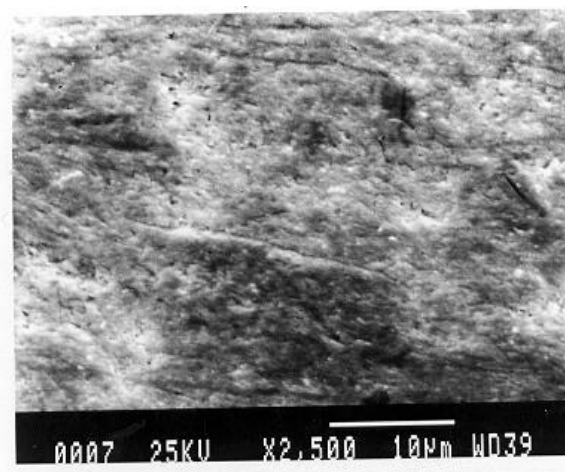
Gambar 1. Butiran serbuk UO<sub>2</sub> melalui AUC yang besar dan berbentuk bulat atau *spherical* dan terpisah satu sama lain



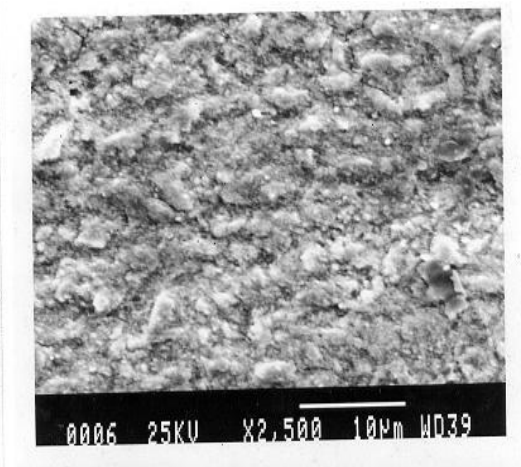
Gambar 2. Butiran serbuk UO<sub>2</sub> melalui ADU dengan bentuk tak beraturan, halus serta mengaglomerasi

Karakteristik tersebut memberikan konsekwensi sebagai berikut<sup>[12]</sup>:

- Serbuk UO<sub>2</sub> ex-AUC lebih mudah dikompakkan untuk mendapatkan kerapatan pelet mentah yang tinggi (5.80 g/cm<sup>3</sup>) dan lebih homogen sepanjang kompakan dibandingkan UO<sub>2</sub> ex-ADU (5.49 g/cm<sup>3</sup>) Gambar 3 dan 4.
- Kontrol dimensi pelet UO<sub>2</sub> ex-AUC lebih mudah dibandingkan pelet UO<sub>2</sub> ex-ADU.



Gambar 3. Mikrostruktur pelet mentah UO<sub>2</sub> melalui AUC



Gambar 4. Mikrostruktur pelet mentah  $\text{UO}_2$  melalui ADU

Di dalam penelitian ini, telah diamati karakterisasi pelet mentah  $\text{UO}_2$  melalui ADU dan AUC selama proses sintering. Pemahaman perilaku pelet hasil pengompakkan diperlukan untuk penguasaan proses sintering. Dengan demikian dapat diperoleh kondisi operasi yang dapat memberikan pelet sinter  $\text{UO}_2$  yang memenuhi persyaratan dan informasi penting lainnya terkait dengan perbaikan proses dan produk.

Sintering merupakan salah satu tahapan proses pembuatan bahan bakar pelet  $\text{UO}_2$ . Tujuan proses sintering adalah sebagai berikut<sup>[10,13]</sup>:

- Mendapatkan pelet dengan kerapatan dan mikrostruktur yang dipersyaratkan.
- Mendapatkan pelet sinter dengan geometri yang dipersyaratkan, yang mempunyai lapisan permukaan yang dapat digerinda sehingga diperoleh pelet dengan permukaan yang bebas cacat seperti retak atau *cracks* dan *chipping*.
- Mendapatkan pelet dengan komposisi yang dipersyaratkan, yakni perbandingan O/U mendekati 2.

Faktor-faktor yang membantu tercapainya tujuan diatas termasuk diantaranya pola pemasukan atau *loading* ke dalam tungku dan *their passage through the sintering*

*furnace*, pemilihan atmosfir sinter dan laju pemanasan, waktu sinter dan laju pendinginan.

Fenomena yang terjadi di dalam proses *sintering* adalah adanya aliran massa berupa difusi. Mekanisme aliran massa/difusi yang terjadi dapat berupa difusi volume, difusi permukaan, dan difusi batas butir. Difusi ini menghasilkan densifikasi atau penyusutan/*shrinkage*, dan pertumbuhan butir/*grain growth* atau *coarsening*<sup>[14]</sup>. Densifikasi terjadi pada tahap awal sintering, sedangkan pertumbuhan butir terjadi pada tahap akhir sintering. Mekanisme yang terjadi pada proses densifikasi adalah difusi volume sedangkan pada pertumbuhan butir adalah difusi batas butir/*grain boundary*<sup>[15]</sup>. Mekanisme ini dapat dianalisis menggunakan dilatometer dengan mengamati parameter kinetik berupa perubahan dimensi ( $\Delta L/L$ ) dengan temperatur dan waktu pemanasan<sup>[15]</sup>. Mekanisme pertumbuhan butir yang terjadi dapat dianalisis menggunakan mikroskop optikatau *Scanning Electron Microscope*(SEM). Akan tetapi, karena keterbatasan temperatur dilatometer, pengamatan kinetika sintering pada temperatur tinggi diprediksi dengan mengamati pelet hasil *sintering* menggunakan tungku sinter.

## TATA KERJA

Penelitian dilakukan dengan menggunakan serbuk  $\text{UO}_2$  melaluiADU (Cameco) dan serbuk  $\text{UO}_2$  melalui AUC ( $\text{UO}_2$  deplesi). Prosedur penelitian adalah sbb.:

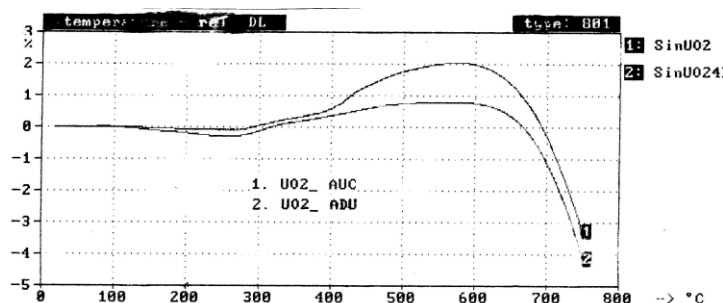
- Penyiapan sampel pelet mentah  $\text{UO}_2$  Melalui ADU dan AUC, yang dikompakkan pada tekanan pengompakan 4,3 ton/cm<sup>2</sup>, untuk analis kinetika sintering pelet  $\text{UO}_2$  melaluiADU dan AUC dengan dilatometer dengan parameter temperatur sintering 900 °C dengan laju pemanasan 250°C/j dan waktu sintering 4 jam.
- Pengamatan perubahan  $\square L/L$  pelet  $\text{UO}_2$  dengan temperatur dan waktu: mulai

- terjadinya penyusutan, besar dan kecepatan penyusutan pada kurva dilatometer.
- Pengamatan pertumbuhan butir pelet UO<sub>2</sub> hasil dilatometer mikrostruktur pelet sinter hasil dilatometer menggunakan mikroskop optik dan SEM.
  - Sintering pelet UO<sub>2</sub> melalui ADU dan AUC dengan temperatur sintering 1700 oC dengan laju pemanasan 250°C/jam dan waktu sintering 4 jam.
  - Pengamatan pertumbuhan butir pelet UO<sub>2</sub> hasil sintering mikrostruktur pelet sinter hasil dilatometer menggunakan mikroskop optik dan SEM

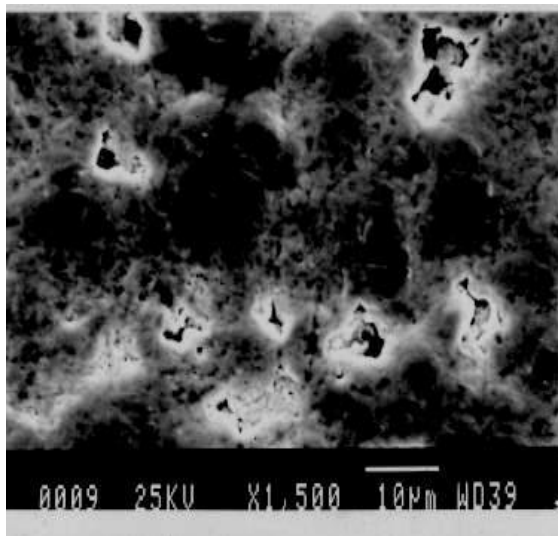
## HASIL DAN PEMBAHASAN

Dari kurva dilatometer, penyusutan terjadi lebih awal pada pelet UO<sub>2</sub> melalui ADU dibandingkan dengan pelet UO<sub>2</sub> melalui AUC. Laju dan besar penyusutan yang terjadi pada pelet UO<sub>2</sub> melalui ADU lebih cepat dan lebih besar dibandingkan pelet UO<sub>2</sub> melalui AUC. Hasil penelitian sebelumnya menyebutkan bahwa densifikasi pelet UO<sub>2</sub> yang disinter pada temperatur 1100°C terjadi pada kisaran temperatur 650 °C sampai 900°C dan pertumbuhan butir dominan terjadi pada kisaran temperatur 900°C sampai 1100 °C<sup>[16]</sup>. Hasil tersebut menguatkan hasil pengamatan temperatur dimana densifikasi terjadi secara signifikan, yakni pada sekitar temperatur 650 °C pada penelitian ini (Gambar 5). Demikian

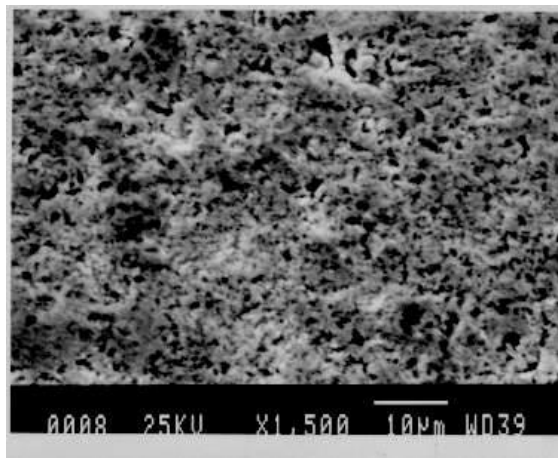
pula dengan tahap akhir proses sintering, yakni pertumbuhan butir, yang belum signifikan terjadi pada temperatur 800°C (Gambar 6 dan 7). Dari Gambar 6 juga terlihat bahwa pori relatif besar terjadi pada pelet UO<sub>2</sub> melalui AUC dibandingkan dengan pelet UO<sub>2</sub> melalui ADU (Gambar 7). Hal ini memberikan indikasi bahwa kerapatan pelet sinter UO<sub>2</sub> melalui AUC lebih rendah dibandingkan kerapatan pelet sinter UO<sub>2</sub> melalui ADU. Dikatakan bahwa mampu sinter/sinterability serbuk UO<sub>2</sub> melalui AUC lebih rendah dibandingkan dengan serbuk UO<sub>2</sub> melalui ADU. Hal ini diperkuat dengan kerapatan pelet hasil sintering menggunakan tungku sinter, yakni kerapatan pelet sinter UO<sub>2</sub> melalui AUC (10.53 g/cm<sup>3</sup>) yang lebih rendah dibandingkan kerapatan pelet sinter UO<sub>2</sub> melalui ADU (10.73 g/cm<sup>3</sup>) (Gambar 8). Fakta ini menunjukkan bahwa meskipun compactibility dan compressibility serbuk UO<sub>2</sub> melalui AUC lebih baik dibandingkan serbuk UO<sub>2</sub> melalui ADU, yang ditunjukkan dengan kerapatan pelet mentah UO<sub>2</sub> melalui AUC yang lebih tinggi (5.80 g/cm<sup>2</sup>) dibandingkan kerapatan pelet mentah UO<sub>2</sub> melalui AUC (5.49 g/cm<sup>2</sup>)<sup>[12]</sup>; tetapi karena mampu sinter serbuk UO<sub>2</sub> melalui AUC yang lebih rendah dibandingkan dengan serbuk UO<sub>2</sub> melalui ADU memberikan kerapatan pelet sinter UO<sub>2</sub> melalui AUC (10.53 g/cm<sup>3</sup>) yang lebih rendah dibandingkan kerapatan pelet sinter UO<sub>2</sub> melalui ADU (10.73 g/cm<sup>3</sup>).



Gambar 5. Dari kurva dilatometer, penyusutan terjadi lebih awal pada pelet UO<sub>2</sub> melalui ADU dibandingkan dengan pelet UO<sub>2</sub> memalui AUC. Laju dan besar penyusutan yang terjadi pada pelet UO<sub>2</sub> memalui ADU lebih cepat dan lebih besar dibandingkan pelet UO<sub>2</sub> memalui AUC



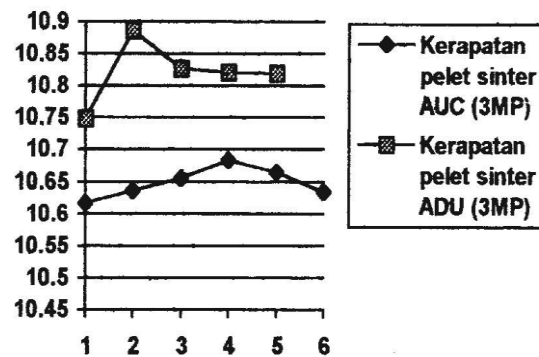
Gambar 6. Mikrostruktur pelet UO<sub>2</sub> memalui AUC hasil karakterisasi dilatometer pada temperatur 800 °C



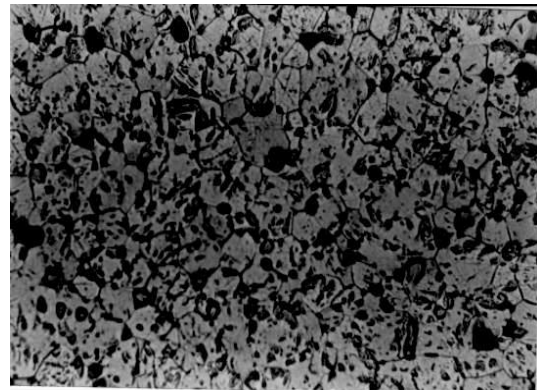
Gambar 7. Mikrostruktur pelet UO<sub>2</sub> memalui ADU hasil karakterisasi dilatometer pada temperatur 800°C

Mampu sinter/*sinterability* serbuk UO<sub>2</sub> memalui AUC lebih rendah dibandingkan dengan serbuk UO<sub>2</sub> memalui ADU juga dapat dilihat dari mikrostruktur pellet sinter UO<sub>2</sub>

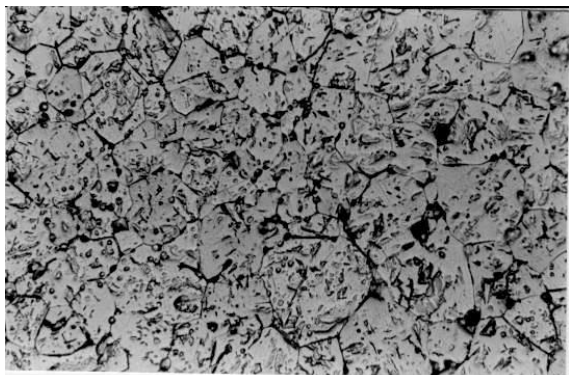
melalui AUC , yang mempunyai ukuran butir yang lebih kecil (Gambar 9) dibandingkan dengan ukuran butir pellet sinter UO<sub>2</sub> memalui ADU (Gambar 10).



Gambar 8. Kerapatan pelet sinter serbuk UO<sub>2</sub> memalui AUC yang lebih rendah dibandingkan dengan kerapatan pelet sinter serbuk UO<sub>2</sub> memalui ADU



Gambar 9. Mikrostruktur pellet UO<sub>2</sub> – AUC hasil penyinteran pada temperatur sintering 1700°C dengan laju pemanasan 250°C/j dan waktu sintering 4 jam.

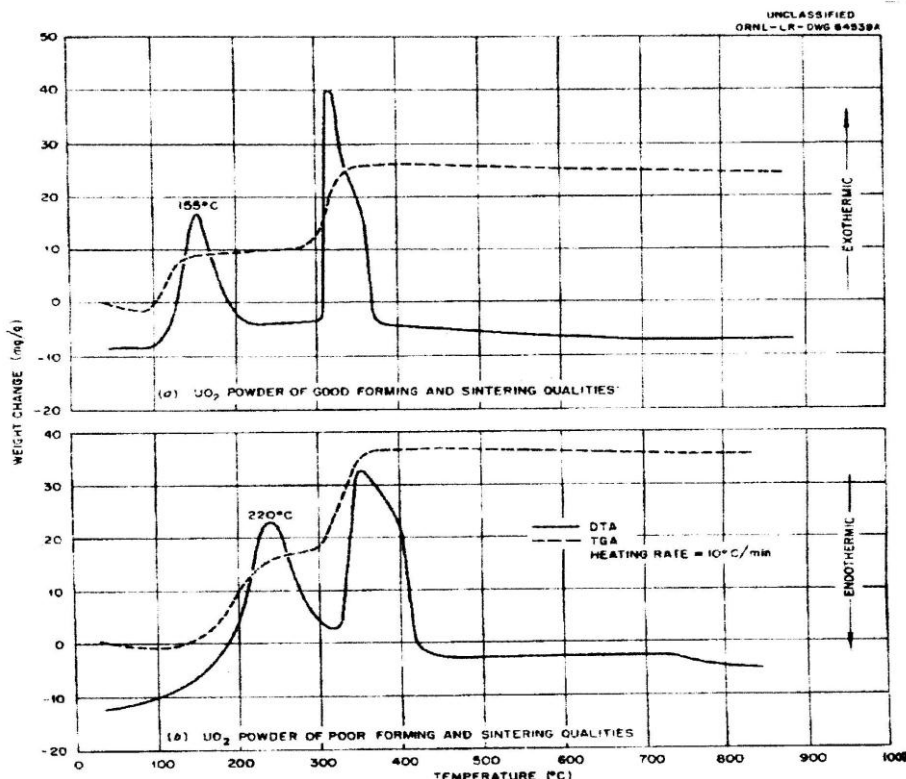


Gambar 10. Mikrostruktur pelet UO<sub>2</sub> – AUC hasil penyinteran pada temperatur *sintering* 1700 °C dengan laju pemanasan 250°C/j dan waktu *sintering* 4 jam.

Mampu sinter/*sinterability* serbuk UO<sub>2</sub> memalui AUC yang lebih rendah dibandingkan dengan serbuk UO<sub>2</sub> memalui ADU dapat dijelaskan berikut ini. Salah satu “*driving force*” dari proses *sintering* adalah energi aktifasi material. Hasil penelitian mampu sinter serbuk UO<sub>2</sub> sebelumnya menyebutkan, bahwa serbuk dengan mampu sinter yang baik adalah serbuk yang tersusun dari partikel yang agak lunak (“*fairly soft particles*”) dengan ukuran partikel yang sangat halus yang mempunyai luas permukaan partikel yang besar<sup>[13]</sup>. Mampu sinter juga akan ditentukan oleh ukuran dan

tingkat kesempurnaan baik internal maupun permukaan dari suatu kristal penyusun serbuk<sup>[17]</sup>. Untuk serbuk yang berbeda, karakteristiknya juga berbeda. Akibatnya parameter sinteringnya juga berbeda.

Mampu sinter atau keaktifan (“*activeness*”) direfleksikan dengan laju dan temperatur yang mana laju maksimum oksidasi UO<sub>2</sub>, U<sub>3</sub>O<sub>7</sub>, U<sub>3</sub>O<sub>8</sub> akan karakteristik untuk serbuk yang berbeda-beda. Mampu sinter serbuk UO<sub>2</sub> yang bagus akan mempunyai pola “*Differential Thermal Analysis*” yang menunjukkan temperatur yang mana laju oksidasi maksimum akan ditunjukkan dengan puncak U<sub>3</sub>O<sub>7</sub> antara 155°C sampai 180°C<sup>[13]</sup>. Apabila temperatur puncak tersebut lebih tinggi 180°C, maka mampu sinter serbuk tersebut semakin menurun. Pola karakteristik “*Thermogravitas* – *Differential Thermal Analysis*” (TG-DTA) dapat dilihat pada Gambar 11. Karakteristik keaktifan serbuk UO<sub>2</sub> memalui AUC yang lebih tinggi dibandingkan serbuk UO<sub>2</sub> memalui AUC ditunjukkan dengan puncak U<sub>3</sub>O<sub>7</sub> pada temperatur yang lebih tinggi (174°C) dibandingkan dengan serbuk UO<sub>2</sub> memalui AUC (161°C).



Gambar 11. Pola TG – DTA yang menunjukkan temperatur puncak U<sub>3</sub>O<sub>7</sub> sebagai indikator mampu sinter

## SIMPULAN

Mampu sinter serbuk UO<sub>2</sub> memalui ADU lebih tinggi dibandingkan mampu sinter serbuk UO<sub>2</sub> memalui AUC. Hal ini dapat dilihat dari:

Kurva dilatometer, penyusutan terjadi lebih awal pada pelet UO<sub>2</sub> memalui ADU dibandingkan dengan pelet UO<sub>2</sub> memalui AUC. Laju dan besar penyusutan yang terjadi pada pelet UO<sub>2</sub> memalui ADU lebih cepat dan lebih besar dibandingkan pelet UO<sub>2</sub> memalui AUC.

Fraksi pori yang lebih banyak dengan ukuran yang lebih besar pada mikrostruktur pelet UO<sub>2</sub> memalui AUC hasil dilatometer dibandingkan pelet UO<sub>2</sub> memalui ADU

Kerapatan pelet UO<sub>2</sub> memalui ADU (10.73 g/cm<sup>3</sup>) hasil sintering (kondisi: temperatur sintering 1700°C dengan laju pemanasan 250°C/j dan waktu sintering 4 jam) yang lebih tinggi dibandingkan dengan kerapatan UO<sub>2</sub> memalui AUC (10.53 g/cm<sup>3</sup>).

Pada pengamatan mikrostruktur pelet hasil sintering, ukuran butir pelet sinter UO<sub>2</sub> memalui ADU lebih besar dengan fraksi pori yang lebih sedikit dibandingkan pelet sinter UO<sub>2</sub> memalui AUC.

Pola *Differential Thermal Analysis* yang menunjukkan puncak U<sub>3</sub>O<sub>7</sub> yang dimiliki serbuk UO<sub>2</sub> memalui ADU pada temperatur yang lebih rendah (161°C) dibandingkan dengan serbuk UO<sub>2</sub> memalui AUC (174°C).

## DAFTAR PUSTAKA

- 1.I.J., HASTING, AECL," Report Report", CRNL – 2, (1983).
- 2.V. MATHIEU, Trans. Am," Nuclear Society", 28. 327 (1978).
- 3.C.S. CHOI, J.H. PARK, E.H. KIN. H.S. Shin and I.S. Chang, "Journal of Nuclear Materials", 153, 148 (1988).
- 4.LARS HALLDALH, ibid., 126, 170 (1984).

- 5.Y.W. LEE AND M.S. YANG, ibid., 178, 217 (1991).
- 6.H.S. KIM, Y.W. LEE AND S.H. NA, J.KOR.SOC.28, 458 (1996).
- 7.K.W. SONG, K.S. KIM, K.W. KANG, Y.H. Jung, ibid., 31, 335 (1999).
- 8.S.H. Na et al., 2000 KNS Autumn Mtg., Korea Nuclear Society (2000).
- 9.JOEL S.HIRSHHORN, "Introduction to Powder Metallurgy", 1<sup>st</sup> ed., p.46, American Powder Metallurgy Institute, USA, (1996).
10. H.S.KIM et all,"Ball – milling Effect on the Sinterability of the UO<sub>2</sub> ex-AUC Pwder", Journal of the Korean Nuclear Society, Volume 26, Number 2, June 1994.
11. M. RACHMAWATI, "Karakterisasi Proses Pengompakan pada Peletisasi Serbuk UO<sub>2</sub>", Prosiding Presentasi Ilmiah Daur Bahan Bakar Nuklir., PEVN-BATAN., Jakarta, 18-19 Maret 1996.
12. M. RACHMAWATI, T.T. SAPUTRA, D. KISWORO,"Karakterisasi dan Kompa-rasi Serbuk UO<sub>2</sub> dari Proses ADU dan AUC selama Proses Pengompakan". Prosiding Presentasi Ilmiah Daur Bahan Bakar Nuklir VI, P2TBDU – BATAN Jakarta 7-8 Nopember 2001.
13. SANG HO NA et al, "Effect of Ball - mill Treatment on Powder Characteristics, Compaction and Sintering Behaviors of ex-AUC and ex-ADU Powder", Journal of the Korean Nuclear Society, volume 34, Number 1, pp.60-67, February, 2002.
14. Belle, J, Uranium Dioxide: Property and Nuclear Application, Atomic Energy Commission, Washington D.C, 1961, P.234.
15. Randall M. German, Powder Metallurgy Science, Metal Powder Industries Federation, New Jersey, 1984, p.161.
16. DIAN ANGRAINI, A.B.GINTING, S.AMINI,M.RACHMAWATI, MARTO-YO, "Analisis Mekanisme Kinetika Sintering Pelet UO<sub>2</sub> dengan Dilatome ter dan Mikroskop Optik", Prosiding Presentasi Ilmiah Daur Bahan Bakar Nuklir III PEVN-BATAN Jakarta, 4-5 Nopember 1997.
17. A.J. TAYLOR, "Characterisation of Uranium Dioxide Powder for Sintering", Meeting on Characterisation of Uranium Dioxide, United Atomic Energy Commission, Oak Ridge National Laboratory, December 12-13, 1961.